

平成29年10月30日
気象庁地震火山部

最近の東海地域とその周辺の地殻活動

現在のところ、東海地震に結びつくと思われる特段の変化は観測していません。

1. 地震の観測状況

10月3日に愛知県のプレート境界付近を震源とする深部低周波地震（微動）を観測しました。

2. 地殻変動の観測状況

GNS S観測及び水準測量の結果では、御前崎の長期的な沈降傾向は継続しています。

3. 地殻活動の評価

上記観測結果を総合的に判断すると、東海地震の想定震源域ではプレート境界の固着状況に特段の変化を示すようなデータは今のところ得られていません。

以上のように、現在のところ、東海地震に結びつくと思われる特段の変化は観測していません。

なお、GNS S観測の結果によると「平成23年（2011年）東北地方太平洋沖地震」による余効変動が、小さくなりつつありますが東海地方においてもみられています。

添付の説明資料は、気象庁及び国土地理院の資料から作成。

気象庁資料の作成に当たっては、気象庁のほか防災科学技術研究所、産業技術総合研究所、東京大学、名古屋大学等のデータを使用。

気象庁では、いつ発生してもおかしくない状態にある「東海地震」を予知すべく、東海地域の地震活動や地殻変動等の状況を監視しています。また、これらの状況を定期的に評価するため、地震防災対策強化地域判定会を毎月開催しています。本資料は本日開催した判定会で評価した、主に前回（平成29年9月25日）以降の調査結果を取りまとめたものです。

なお、上記調査結果は本日17時00分に「東海地震に関連する調査情報（定例）」として発表しています。

東海地域の地震活動指数 (クラスタを除いた地震回数による)

2017年10月24日現在

	① 静岡県中西部		② 愛知県		③ 浜名湖周辺			④ 駿河湾
	地殻内	フィリピン海プレート	地殻内	フィリピン海プレート	フィリピン海プレート内 全域	全域		
						西側	東側	
短期活動指数	7	5	4	4	1	3	2	6
短期地震回数 (平均)	10 (5.29)	9 (7.00)	11 (13.16)	14 (14.15)	0 (3.72)	0 (1.43)	0 (2.28)	9 (6.06)
中期活動指数	8	6	0	2	1	3	2	7
中期地震回数 (平均)	27 (15.87)	26 (21.00)	24 (39.48)	35 (42.44)	2 (7.44)	1 (2.87)	1 (4.57)	18 (12.12)

* Mしきい値： 静岡県中西部、愛知県、浜名湖周辺：M \geq 1.1、駿河湾：M \geq 1.4

* クラスタ除去：震央距離が Δr 以内、発生時間差が Δt 以内の地震をグループ化し、最大地震で代表させる。

静岡県中西部、愛知県、浜名湖周辺： $\Delta r=3\text{km}$ 、 $\Delta t=7\text{日}$

駿河湾： $\Delta r=10\text{km}$ 、 $\Delta t=10\text{日}$

* 対象期間： 静岡県中西部、愛知県：短期30日間、中期90日間

浜名湖周辺、駿河湾：短期90日間、中期180日間

* 基準期間： おおむね長期的スロースリップ（ゆっくり滑り）発生前の地震活動を基準とする。

静岡県中西部、愛知県：1997年－2001年（5年間）、駿河湾：1991年－2000年（10年間）、

浜名湖周辺：1997年－2000年 および 2006年－2012年（11年間）

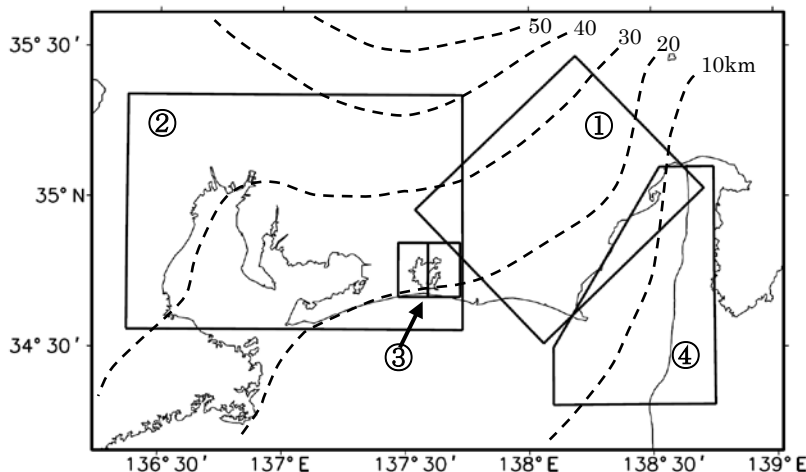
[各領域の説明] ① 静岡県中西部：プレート間が強く「くっついている」と考えられている領域（固着域）。

② 愛知県：フィリピン海プレートが沈み込んでいく先の領域。

③ 浜名湖周辺：固着域の縁。長期的スロースリップ（ゆっくり滑り）が発生する場所であり、同期して地震活動が変化すると考えられている領域。

④ 駿河湾：フィリピン海プレートが沈み込み始める領域。

2009年8月11日の駿河湾の地震（M6.5）と2011年8月1日の駿河湾の地震（M6.2）の余震域の活動を除いた場合での活動指数についても求めた（次ページ）。

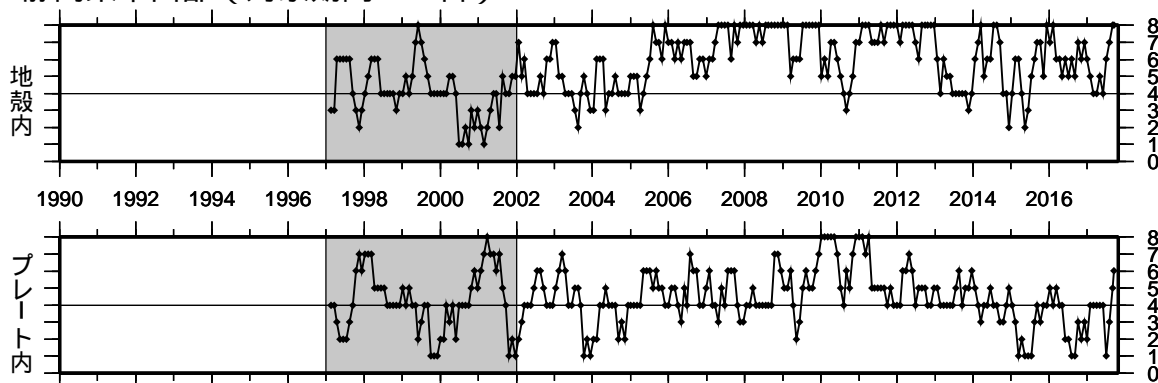


* Hirose et al. (2008) によるプレート境界の等深線を破線で示す

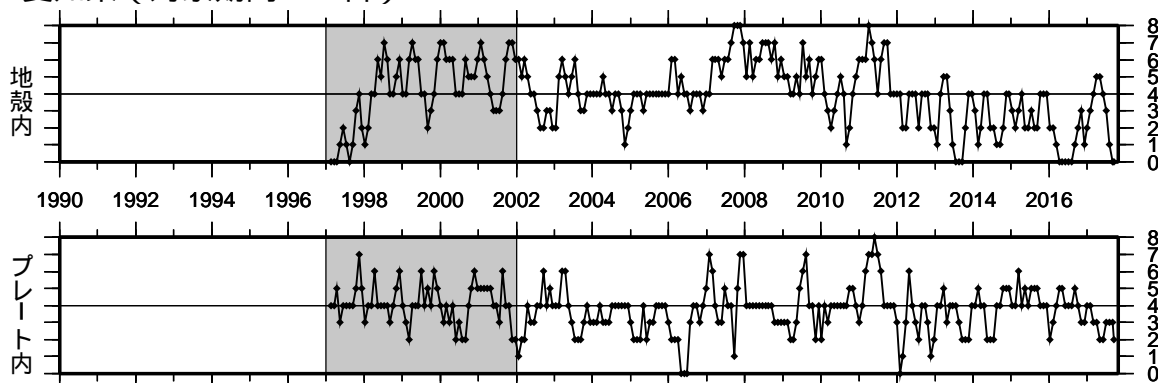
指数	確率 (%)	地震数
8	1	多い
7	4	やや多い
6	10	
5	15	
4	40	ほぼ平常
3	15	
2	10	やや少ない
1	4	
0	1	少ない

地震活動指数の推移（中期活動指数）

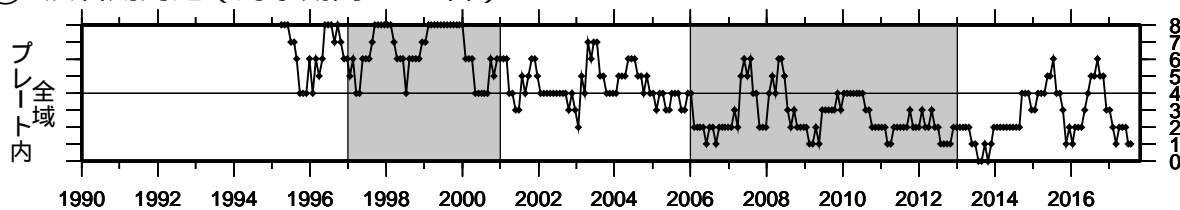
① 静岡県中西部（対象期間：90日） 1997/ 1/ 1~2017/10/24 M ≥ 1.1



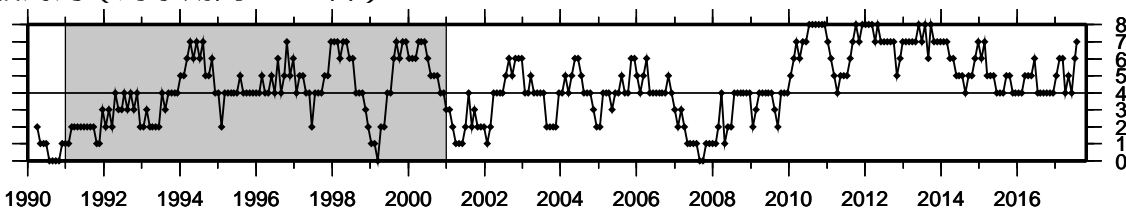
② 愛知県（対象期間：90日） 1997/ 1/ 1~2017/10/24 M ≥ 1.1



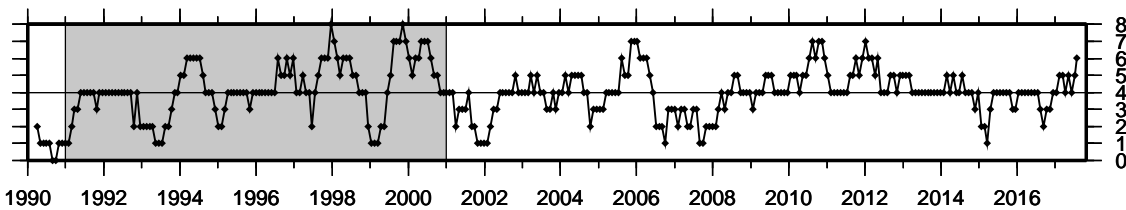
③ 浜名湖周辺（対象期間：180日） 1995/ 1/ 1~2017/10/24 M ≥ 1.1



④ 駿河湾（対象期間：180日） 1990/ 1/ 1~2017/10/24 M ≥ 1.4



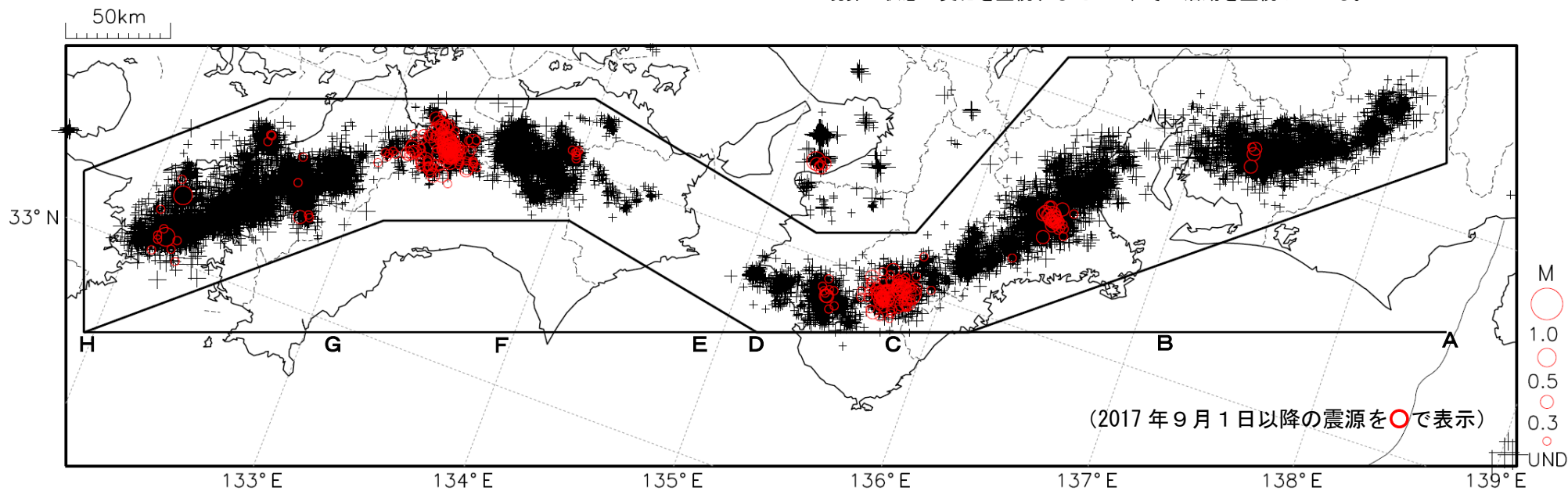
2009年8月11日の駿河湾の地震（M6.5）と2011年8月1日の駿河湾の地震（M6.2）の余震域の活動を除去した場合



■ : 基準期間 / : 地震活動指数（0 - 8）

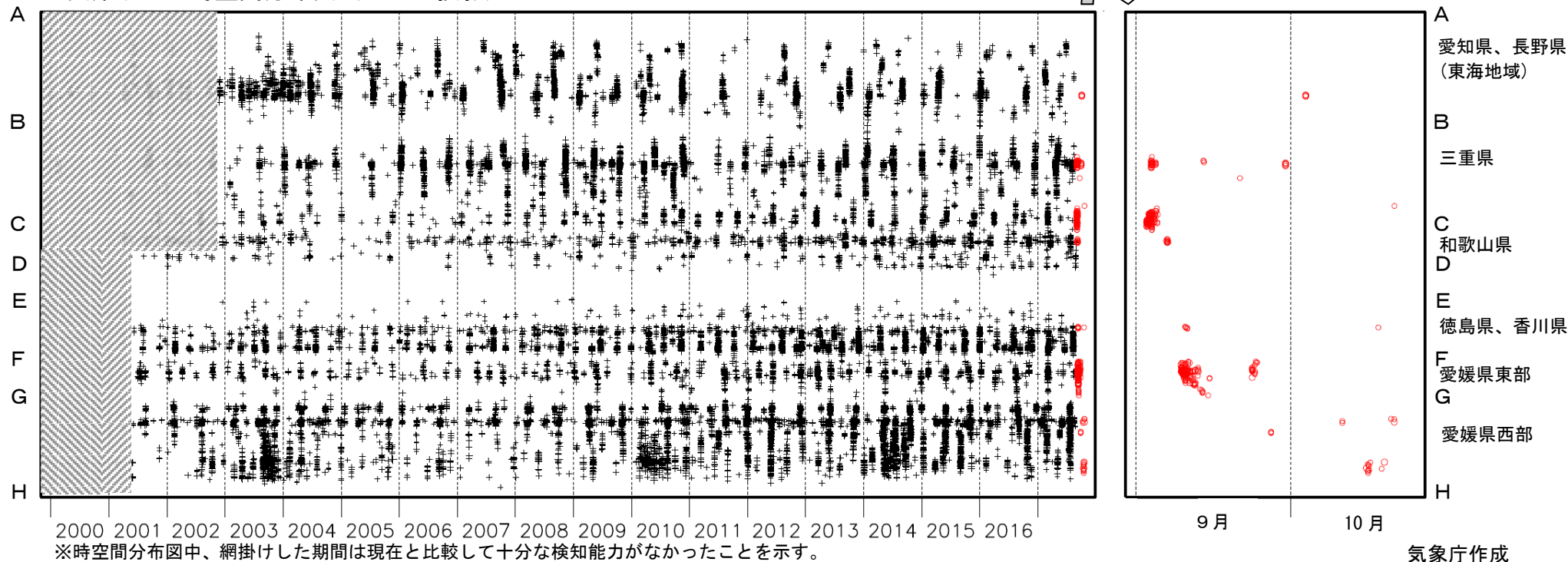
深部低周波地震活動 (2000年1月1日~2017年10月24日)

深部低周波地震は、「短期的ゆっくりすべり」に密接に関連する現象とみられており、プレート境界の状態の変化を監視するために、その活動を監視している。



上図矩形内の時空間分布図 (A-H投影)

(2017年9月1日~2017年10月24日)



愛知県西部の深部低周波地震(微動)活動

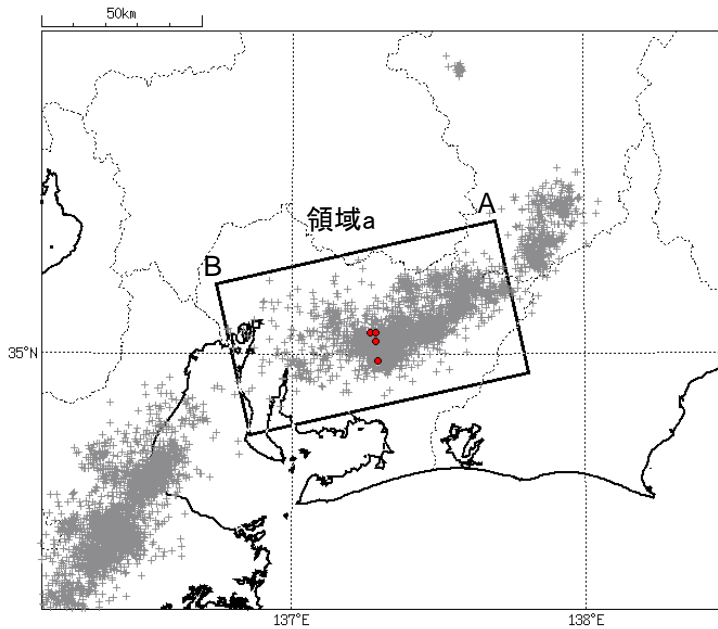
10月3日に、愛知県西部を震央とする深部低周波地震(微動)を観測した。ひずみ計に特段の変化は観測されていない。

深部低周波地震(微動)活動

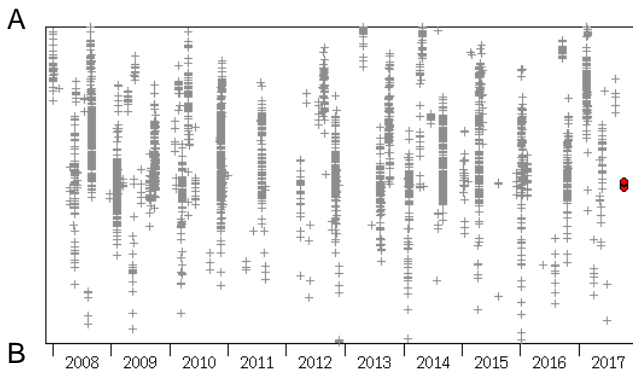
震央分布図

(2008年1月1日～2017年10月24日、深さ0～60km, Mすべて)

2017年10月1日以降の地震を●で表示



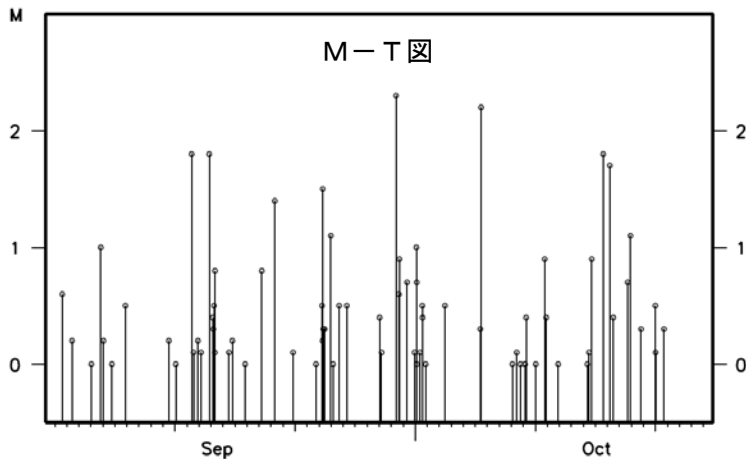
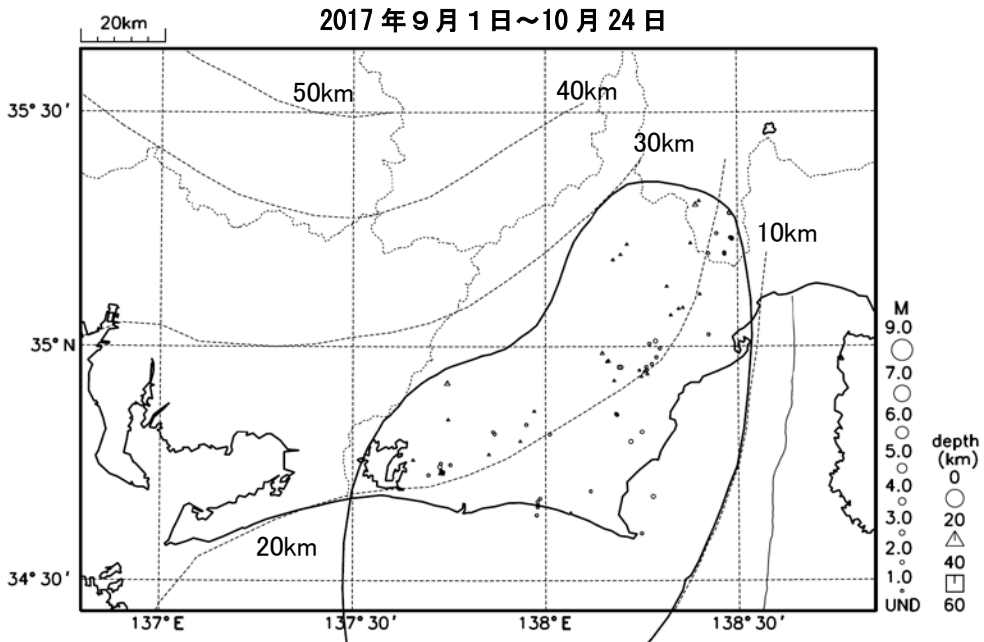
震央分布図の領域a内のAB方向の時空間分布図



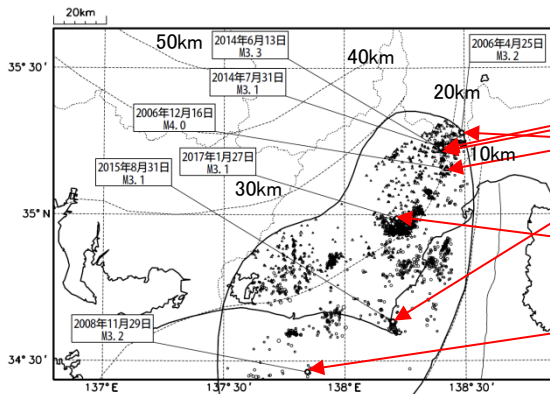
プレート境界とその周辺の地震活動(最近の活動状況)

(Hirose et al. (2008)によるフィリピン海プレート上面深さの±3kmの地震を抽出)

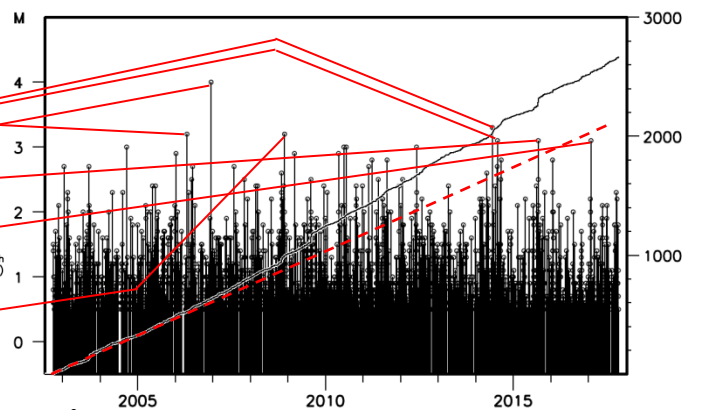
プレート境界とその周辺の地震の震央分布 (最近約1ヶ月半、Mすべて)



プレート境界とその周辺の地震の震央分布
(2002年10月1日~2017年10月24日、M \geq 0.5)



回数積算図とM-T図

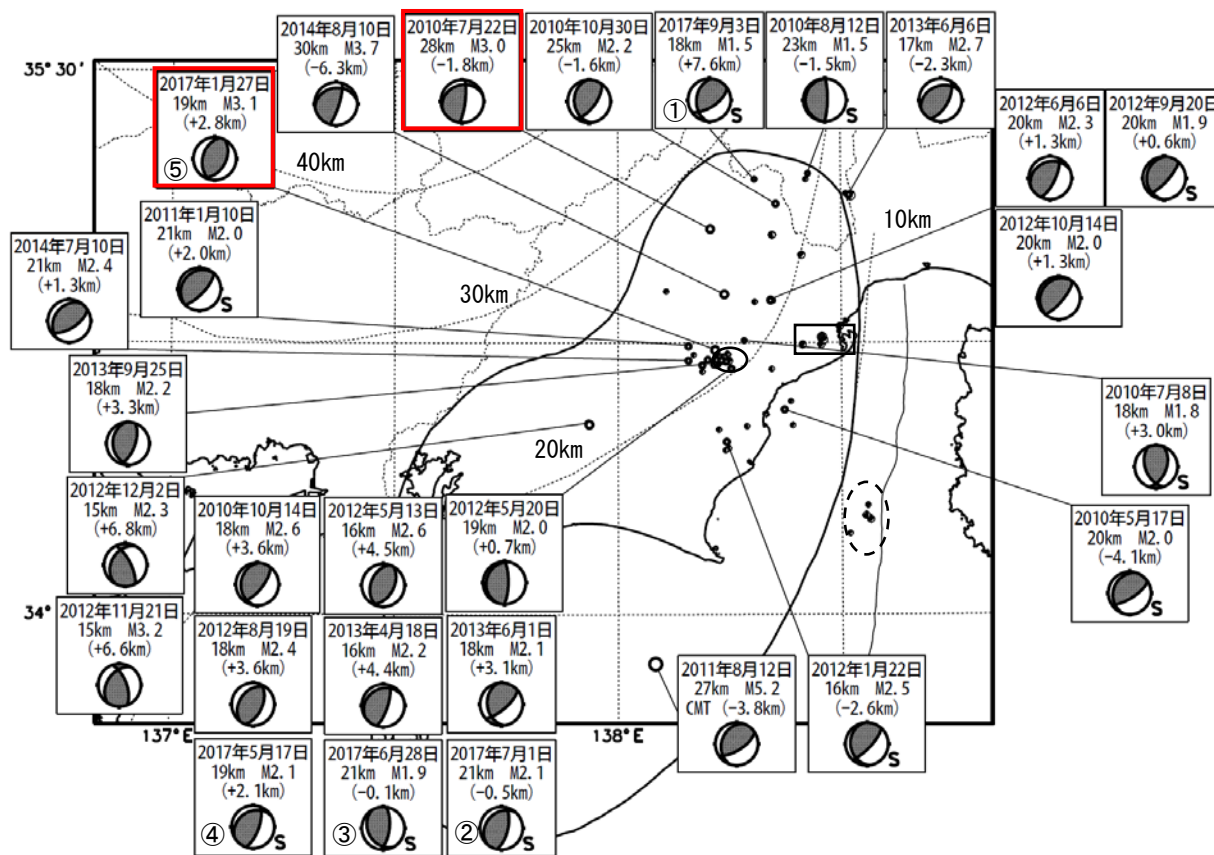


2002年10月以降 (M \geq 0.5) で見ると、東海地域のプレート境界とその周辺の地震活動は、2007年中頃あたりからやや活発に見える。なお、2009年8月11日以降は、駿河湾の地震 (M6.5) の余震活動の一部を抽出している。M3を超える地震については、その震央を矢印で示しているが、これらの地震の発震機構解のうち、想定東海地震のものと同様の型に相当したものは2017年1月27日の地震である。

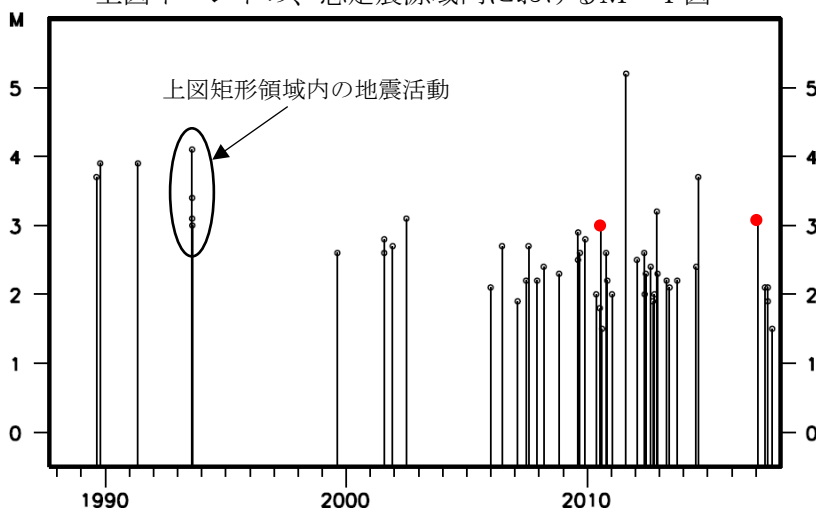
※震央分布図中の点線は、Hirose et al. (2008)によるフィリピン海プレート上面の深さを示す。

想定東海地震の発震機構解と類似の型の地震

1987年9月1日～2017年10月24日
(2010年1月以降の地震に吹き出しを付けている)



上図イベントの、想定震源域内におけるM-T図



想定震源域内で発生した地震のうち、2010年1月以降に発生したM3.0以上かつプレート境界からの鉛直方向の距離が±3km以内の地震の枠を赤く表示

吹き出し内に () で記載した値は、Hirose et al. (2008)によるプレート境界からの鉛直方向の距離。+はプレート境界より浅く、-は深いことを示す。

震央分布図中の点線は、Hirose et al. (2008)によるプレート境界を示す。

最近発生した5つの地震については、丸数字で順番を示す。

想定東海地震の発震機構解と類似の型の地震を抽出した。抽出条件は、P軸の傾斜角が45度以下、かつP軸の方位角が65度以上145度以下、かつT軸の傾斜角が45度以上、かつN軸の傾斜角が30度以下とした。

プレート境界で発生したと疑われる地震の他、明らかに地殻内またはフィリピン海プレート内で発生したと推定される地震も含まれている。点線楕円で囲まれた地震は、2011年8月1日に発生したM6.2の地震の余震で、フィリピン海プレート内の地震である。

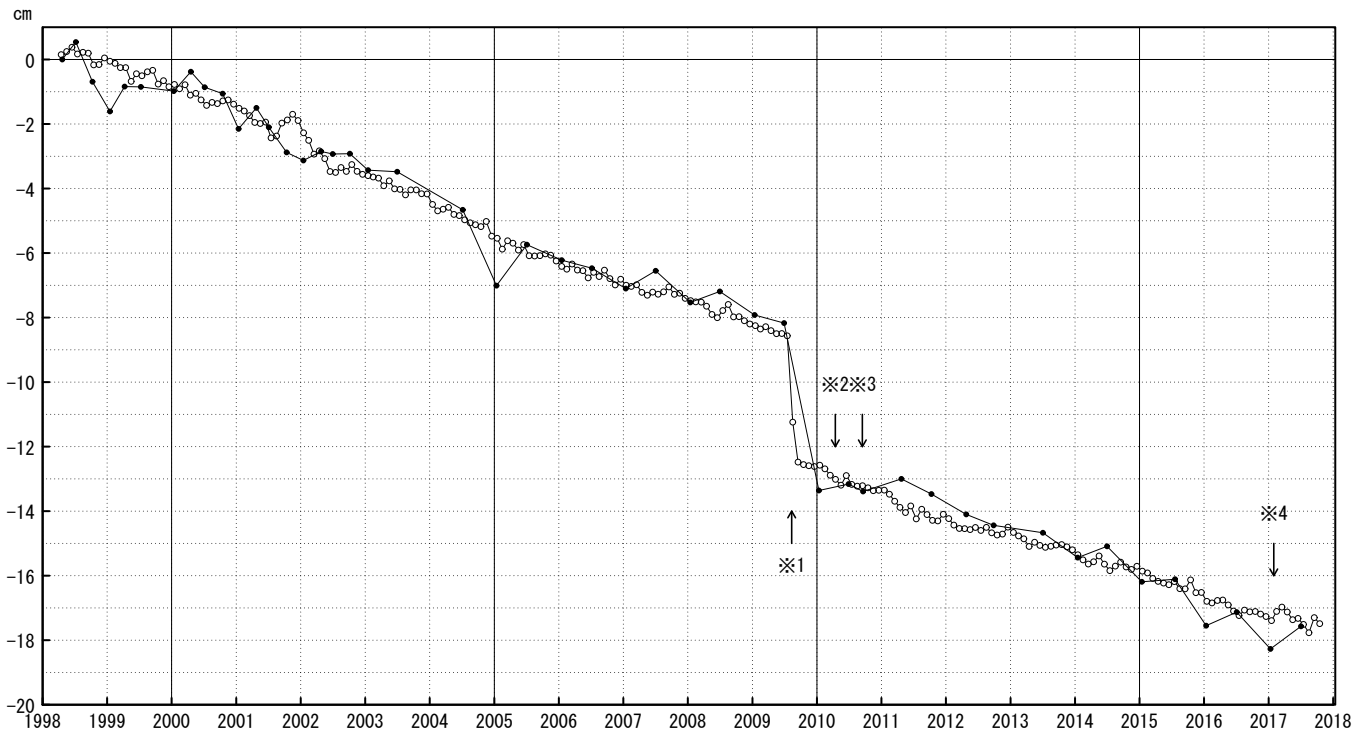
なお、吹き出し図中、震源球右下隣りにSの表示があるものは、発震機構解に十分な精度がない。

御前崎 電子基準点の上下変動

水準測量と GNSS 連続観測

掛川に対して、御前崎が沈降する長期的な傾向が続いている。

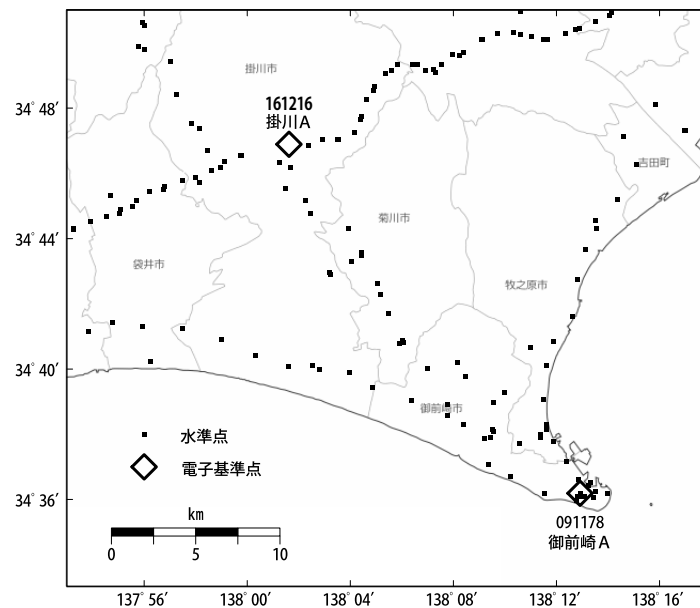
掛川 A (161216) - 御前崎 A (091178)



● : 水準測量 ○ : GNSS 連続観測 (GEONET 月平均値)

・ 最新のプロット点は 10/01~10/07 の平均。

- ※1 電子基準点「御前崎」は 2009 年 8 月 11 日の駿河湾の地震 (M6.5) に伴い、地表付近の局所的な変動の影響を受けた。
- ※2 2010 年 4 月以降は、電子基準点「御前崎」をより地盤の安定している場所に移転し、電子基準点「御前崎 A」とした。上記グラフは電子基準点「御前崎」と電子基準点「御前崎 A」のデータを接続して表示している。
- ※3 水準測量の結果は移転後初めて変動量が計算できる 2010 年 9 月から表示している。
- ※4 2017 年 1 月 30 日以降は、電子基準点「掛川」は移転し、電子基準点「掛川 A」とした。上記グラフは電子基準点「掛川」と電子基準点「掛川 A」のデータを接続して表示している。

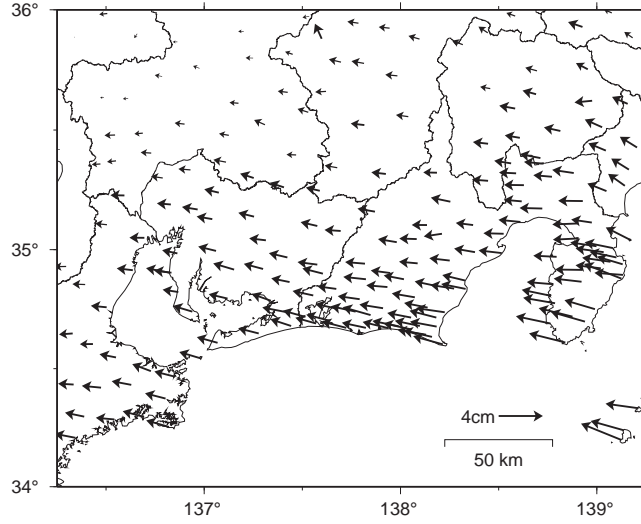


東海地方の水平地殻変動【固定局：三隅】

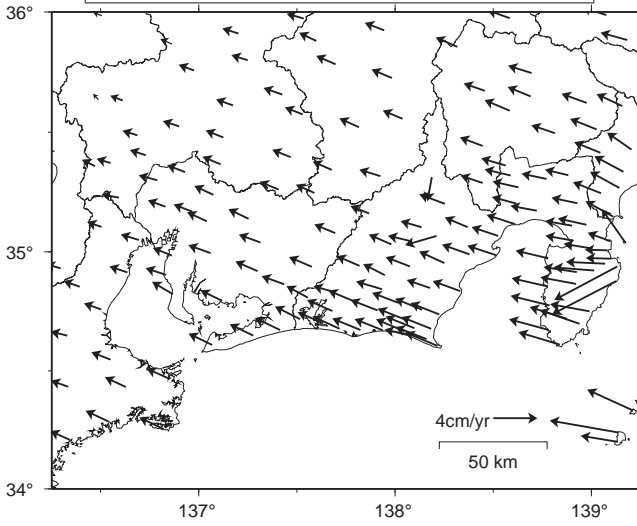
(2016年10月～2017年10月)

基準期間：2016/10/14 - 2016/10/21 [F3：最終解]

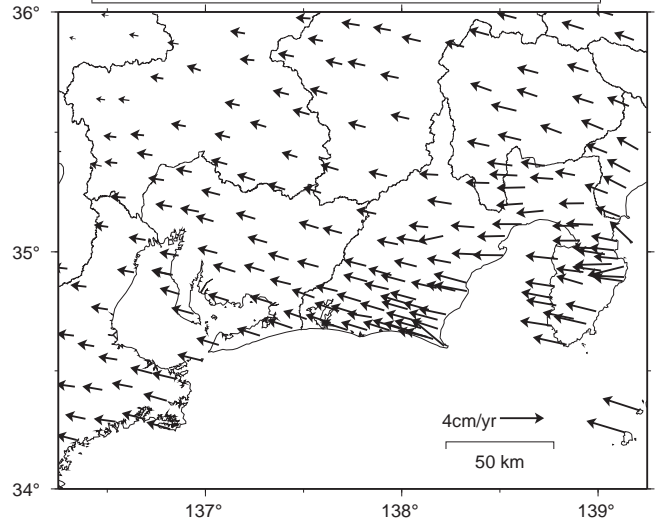
比較期間：2017/10/14 - 2017/10/21 [R3：速報解]



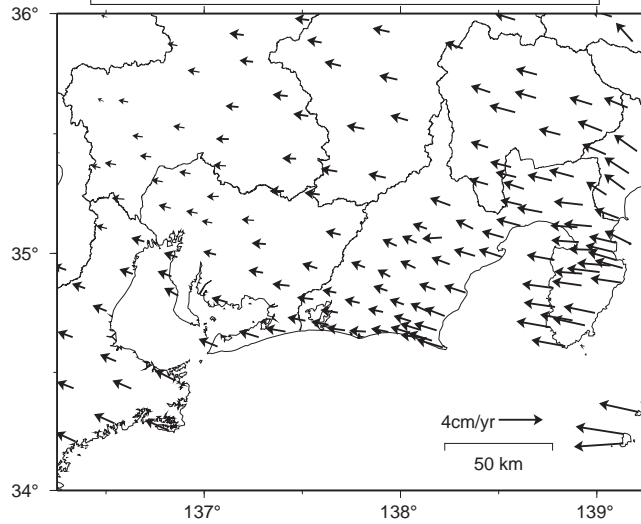
スロースリップ発生前の水平地殻変動速度
(1997年1月～2000年1月)



スロースリップ終息後の水平地殻変動速度
(2008年1月～2011年1月)

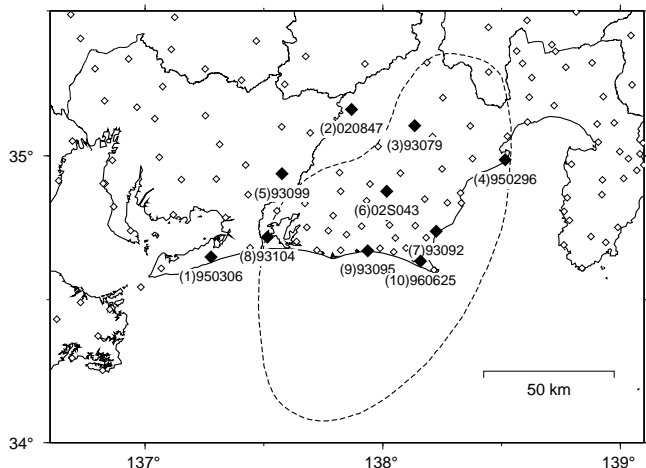


スロースリップ進行期の水平地殻変動速度
(2001年1月～2004年1月)

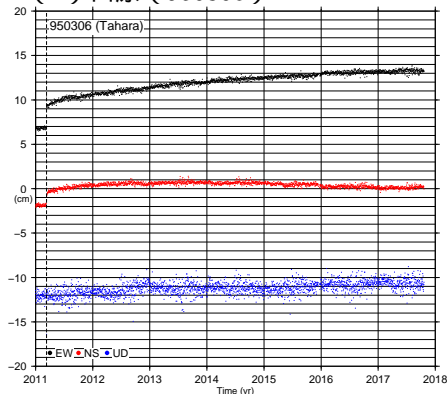


東海地方の非定常地殻変動時系列【固定局：三隅】

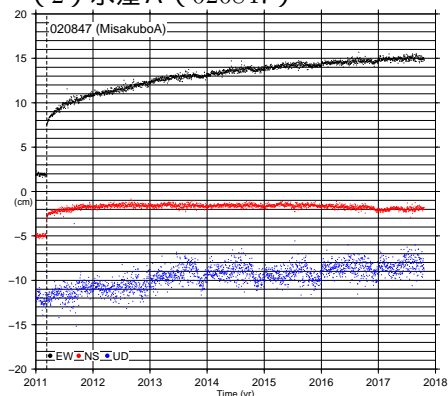
速報解合む 2011/1/1 - 2017/10/21



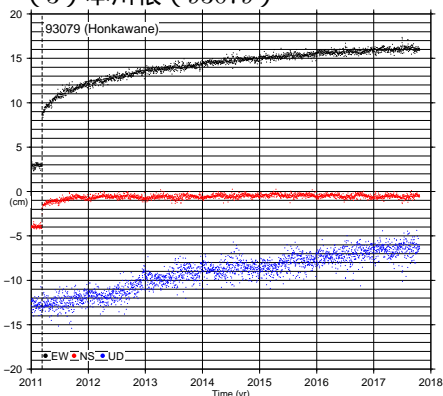
(1) 田原 (950306)



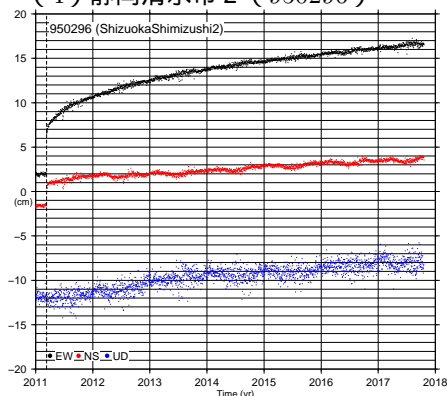
(2) 水窪 A (020847)



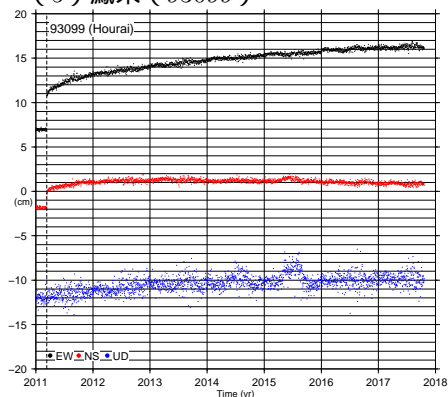
(3) 本川根 (93079)



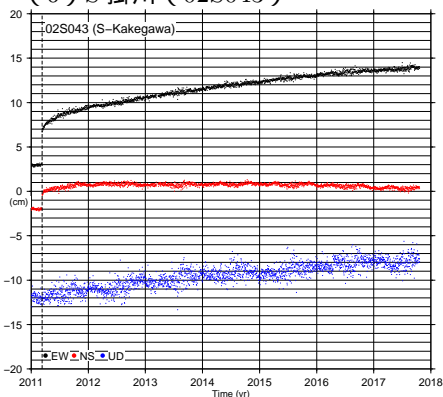
(4) 静岡清水市 2 (950296)



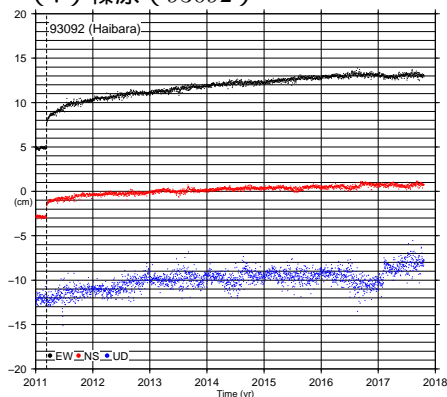
(5) 鳳来 (93099)



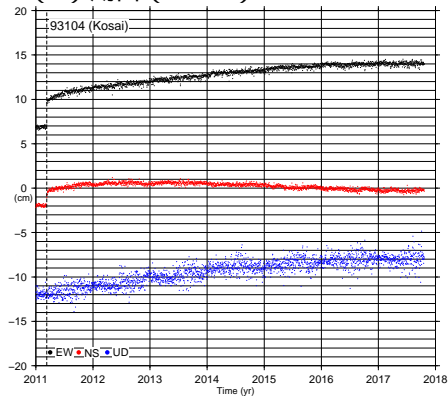
(6) S 掛川 (02S043)



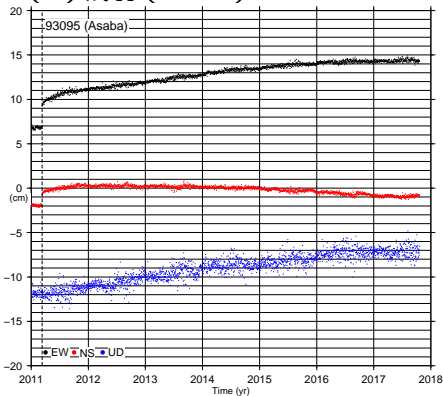
(7) 榛原 (93092)



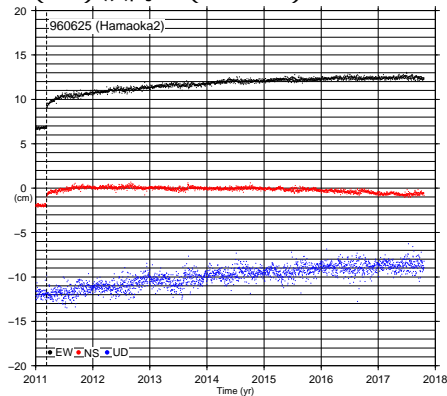
(8) 湖西 (93104)



(9) 浅羽 (93095)



(10) 浜岡 2 (960625)



- ・ 2011 年 3 月 11 日に発生した東北地方太平洋沖地震による地殻変動の影響は取り除いていない。
- ・ 2008 年 1 月 1 日 ~ 2011 年 1 月 1 日のデータから平均変動速度、年周/半年周成分を推定して、元の時系列データから除去している。
- ・ 2016 年 4 月に発生した熊本地震による固定局三隅の地殻変動は補正している。